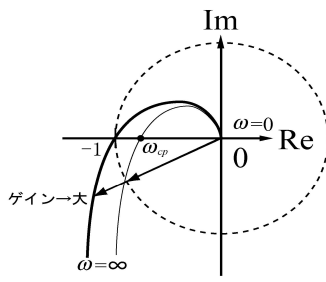
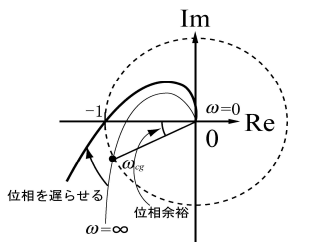
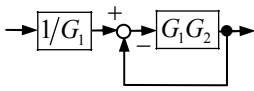
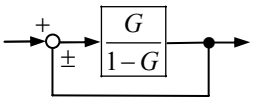
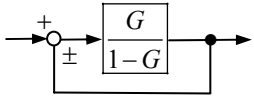
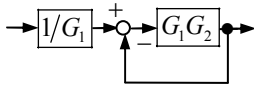


●テキストシリーズ「制御工学」第1版正誤表

No	頁	項目	誤	正 (下線部訂正)
1	8	式 1.1	$x(t) = e^{at}x_0 + \int_0^t e^{a(t-\tau)}bu(\tau)d\tau$	$x(t) = e^{at}x_0 + \int_0^t e^{a(t-\tau)}bu(\tau)d\tau$
2	15	式 2.10	$\frac{d^2dx}{dt^2} + c\frac{ddx}{dt} + kdx = 0$	$\frac{d^2\delta x}{dt^2} + c\frac{d\delta x}{dt} + k\delta x = 0$
3	24	式 2.78	$A\frac{dh}{dt} + \frac{q_0}{2h_0}\Delta h = \Delta q_1$	$A\frac{d\Delta h}{dt} + \frac{q_0}{2h_0}\Delta h = \Delta q_1$
4	24	式 2.79	$A\frac{dh}{dt} + \frac{1}{R}\Delta h = \Delta q_1$	$A\frac{d\Delta h}{dt} + \frac{1}{R}\Delta h = \Delta q_1$
5	25	表の Inductor	$v(t) = Ri$ $v(t) = R\frac{dq}{dt}$	$v(t) = L\frac{di}{dt}$ $v(t) = L\frac{d^2q}{dt^2}$
6	26	式 3.5	$T\frac{d^2y(t)}{dt^2} + y(t) = x(t)$	$T\frac{dy(t)}{dt} + y(t) = x(t)$
7	27	式 3.11	$f(t) = \frac{1}{2\pi j}\int_{c-j\infty}^{c+j\infty} F(s)e^{st}ds$	$f(t) = \frac{1}{2\pi j}\int_{c-j\infty}^{c+j\infty} F(s)e^{st}ds$
8	28	式 3.15	$X(s) = KU(s)$	$G(s) = \frac{X(s)}{U(s)} = K$
9	28	表 3.2(3)	$\lim_{t \rightarrow 0} f(t) = \lim_{s \rightarrow 0} sF(s)$ $\lim_{t \rightarrow \infty} f(t) = \lim_{s \rightarrow \infty} sF(s)$	$\lim_{t \rightarrow 0} f(t) = \lim_{s \rightarrow \infty} sF(s)$ $\lim_{t \rightarrow \infty} f(t) = \lim_{s \rightarrow 0} sF(s)$
10	28	表 3.2(6)	$L[\lambda f(t) + \mu g(t)] = \lambda F(s) + \mu G(s)$	$L\left[\int_0^t f(t-\tau)g(\tau)d\tau\right]$ $= L\left[\int_0^t g(t-\tau)f(\tau)d\tau\right] = F(s)G(s)$ $f(t) = g(t) = 0 \quad (t \leq 0)$
11	29	式 3.23	$L\left[T\frac{d^2y(t)}{dt^2}\right] = s^2TY(s)$	$L\left[T\frac{dy(t)}{dt}\right] = sTY(s)$
12	33	式 3.63 , 3.65 の最右辺	$\left(\frac{Ts}{1+Ts}\right)$	$\frac{Ts}{1+Ts}$
13	40	解 3.8	Next, we table 3.2.	Next, <u>use 8 in table 3.2.A.2.</u>
14	40	図 3.28(c)	(図差し替え)	
15	42	下から 2 行目の式	$y(t) = \{\text{Im}G(j\omega)\}\cos\omega t + \{\text{Re}G(j\omega)\}\sin\omega t$ $+ \sum_{i=1}^k B_{1i}e^{-ait} + \sum_{j=1}^l B_{2j}e^{-bjt} \cos(g_j t + d_j)$	$y(t) = \{\text{Im}G(j\omega)\}\cos\omega t + \{\text{Re}G(j\omega)\}\sin\omega t$ $+ \sum_{i=1}^k B_{1i}e^{-ait} + \sum_{j=1}^l B_{2j}e^{-bjt} \cos(g_j t + d_j)$
16	44	表 4.1 二次系の周波数伝達関数	$\frac{\omega_n^2}{(1-\omega^2) + j2\zeta\omega\omega_n}$	$\frac{\omega_n^2}{(\omega_n^2 - \omega^2) + j2\zeta\omega\omega_n}$
17	45	最下の式	$\frac{\omega_n^2}{(1-\omega^2) + j2\zeta\omega\omega_n}$	$\frac{\omega_n^2}{(\omega_n^2 - \omega^2) + j2\zeta\omega\omega_n}$

18	54	式 5.18	$y(t) = y(0)\exp\left(-\frac{1}{2}t\right)\sin\left(\frac{\sqrt{3}}{2}t\right)$	$y(t) = y(0)\exp\left(-\frac{1}{2}t\right)\cos\left(\frac{\sqrt{3}}{2}t\right) + \frac{1}{\sqrt{3}}y(0)\left(-\frac{1}{2}t\right)\sin\left(\frac{\sqrt{3}}{2}t\right)$																																
19	63	図 5.20		(図修正) 																																
20	64	図 5.21		(図修正) 																																
21	81	式 7.17 の左辺	$num(s)+Kden(s)$	$\underline{Knum(s)+den(s)}$																																
22	82	式 7.23	$\angle(-1-j+2) = 90^\circ$	$\angle\{-1+j-(-1-j)\} = \angle 2j = 90^\circ$																																
23	82	式 7.25 の左辺	$num(s)+Kden(s)$	$\underline{Knum(s)+den(s)}$																																
24	83	式 7.36 の左辺	$num(s)+Kden(s)$	$\underline{Knum(s)+den(s)}$																																
25	84	式 7.41	$u = K_d \frac{dy}{dt}$	$u = -K_d \frac{dy}{dt}$																																
26	89	表 7.1	<table border="1"> <thead> <tr> <th></th> <th>K_p</th> <th>K_d</th> <th>K_i</th> <th></th> <th>K_p</th> <th>K_d</th> <th>K_i</th> </tr> </thead> <tbody> <tr> <td>P 制御</td> <td>$0.5K_c$</td> <td>0</td> <td>0</td> <td>P 制御</td> <td>$0.5K_c$</td> <td>0</td> <td>0</td> </tr> <tr> <td>PI 制御</td> <td>$0.45K_c$</td> <td>0</td> <td>$0.83T_c/K_p$</td> <td>PI 制御</td> <td>$0.45K_c$</td> <td>0</td> <td>$\underline{K_p/(0.83T_c)}$</td> </tr> <tr> <td>PID 制御</td> <td>$0.6K_c$</td> <td>$0.125T_c/K_p$</td> <td>$0.5T_c/K_p$</td> <td>PID 制御</td> <td>$0.6K_c$</td> <td>$\underline{0.125T_cK_p}$</td> <td>$\underline{K_p/(0.5T_c)}$</td> </tr> </tbody> </table>		K_p	K_d	K_i		K_p	K_d	K_i	P 制御	$0.5K_c$	0	0	P 制御	$0.5K_c$	0	0	PI 制御	$0.45K_c$	0	$0.83T_c/K_p$	PI 制御	$0.45K_c$	0	$\underline{K_p/(0.83T_c)}$	PID 制御	$0.6K_c$	$0.125T_c/K_p$	$0.5T_c/K_p$	PID 制御	$0.6K_c$	$\underline{0.125T_cK_p}$	$\underline{K_p/(0.5T_c)}$	
	K_p	K_d	K_i		K_p	K_d	K_i																													
P 制御	$0.5K_c$	0	0	P 制御	$0.5K_c$	0	0																													
PI 制御	$0.45K_c$	0	$0.83T_c/K_p$	PI 制御	$0.45K_c$	0	$\underline{K_p/(0.83T_c)}$																													
PID 制御	$0.6K_c$	$0.125T_c/K_p$	$0.5T_c/K_p$	PID 制御	$0.6K_c$	$\underline{0.125T_cK_p}$	$\underline{K_p/(0.5T_c)}$																													
27	91	下から 2 行目	計数を比較することで、	$\underline{係数}$ を比較することで、																																
28	173	10 行目の式	$u(t) = (a_1 - \sqrt{a_1^2})x_1 + \left\{a_2 - \sqrt{a_2^2 + 2(-a_1 + \sqrt{a_1^2})}\right\}x_2$	$u(t) = (a_1 - \sqrt{a_1^2})x_1 + \left\{a_2 - \sqrt{a_2^2 + 2(-a_1 + \sqrt{a_1^2})}\right\}x_2$																																
29	189	12 行目の式	$\bar{c} = cS^{-1} = \begin{bmatrix} 1 & 0 & 0 \\ 0 & 0 & 1 \\ 0 & 1 & 0 \end{bmatrix} \begin{bmatrix} 1 & 0 & 0 \\ 0 & 0 & 1 \\ 0 & 1 & 0 \end{bmatrix} \begin{bmatrix} \theta \\ \dot{\theta} \\ i \end{bmatrix} = \begin{bmatrix} 1 & 0 & 0 \\ 0 & 1 & 0 \end{bmatrix}$	$\bar{c} = cS^{-1} = \begin{bmatrix} 1 & 0 & 0 \\ 0 & 0 & 1 \\ 0 & 1 & 0 \end{bmatrix} \begin{bmatrix} 1 & 0 & 0 \\ 0 & 0 & 1 \\ 0 & 1 & 0 \end{bmatrix} = \begin{bmatrix} 1 & 0 & 0 \\ 0 & 1 & 0 \end{bmatrix}$																																
30	192	10 行目	$\hat{x}(t)$ が真値 $x(t)$ に収束～	$z(t)$ が真値 $x(t)$ に収束～																																
31	193	付表 3.1 15 「 $F(s)$ 」	$\frac{s + \alpha}{(s + \alpha)^n}$	$\frac{s + \alpha}{(s + \alpha)^2}$																																
32	195	付表 3.2 9 「変換後」																																		

33	195	付表 3.2 10「変換後」		
34	196	6 行目	z_i が不安定な極の場合	z_i が閉ループ系の不安定な極の場合
35	196	図 A.1	r_i	z_i
36	196	図 A.1 キャプション	偏角の動き(極が安定の場合)	偏角の動き(極が不安定の場合)
37	196	図 A.2	r_i	z_i
38	196	図 A.2 キャプション	偏角の動き(極が不安定の場合)	偏角の動き(極が安定の場合)

2005/1/7 作成